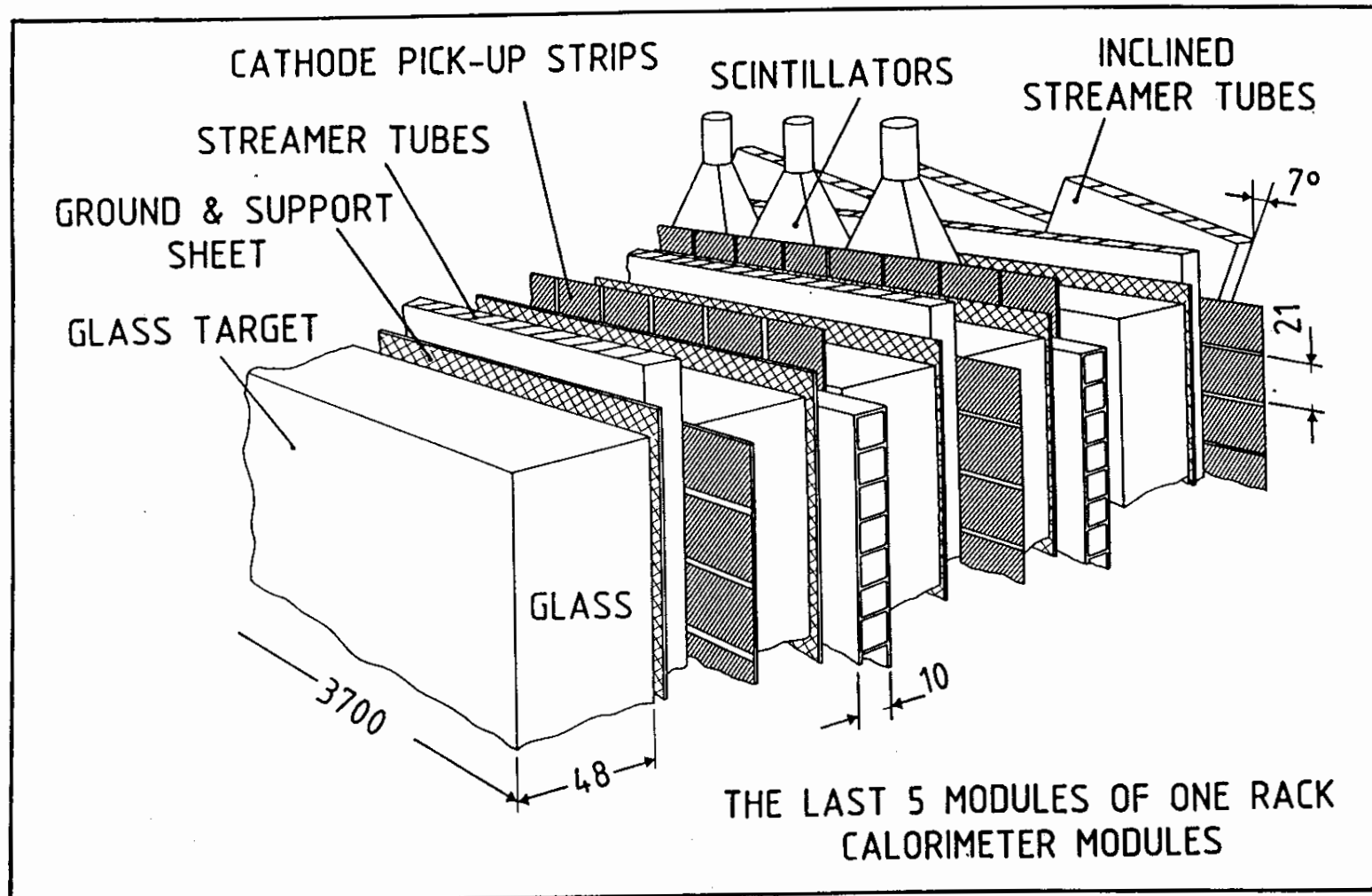
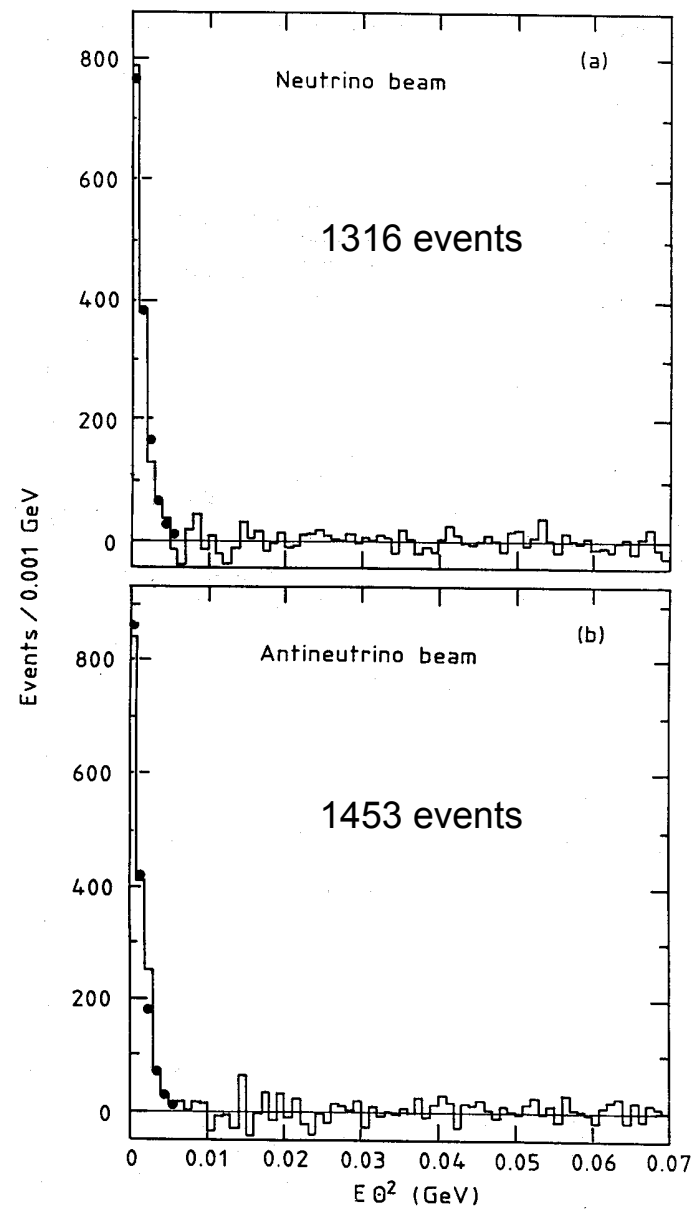
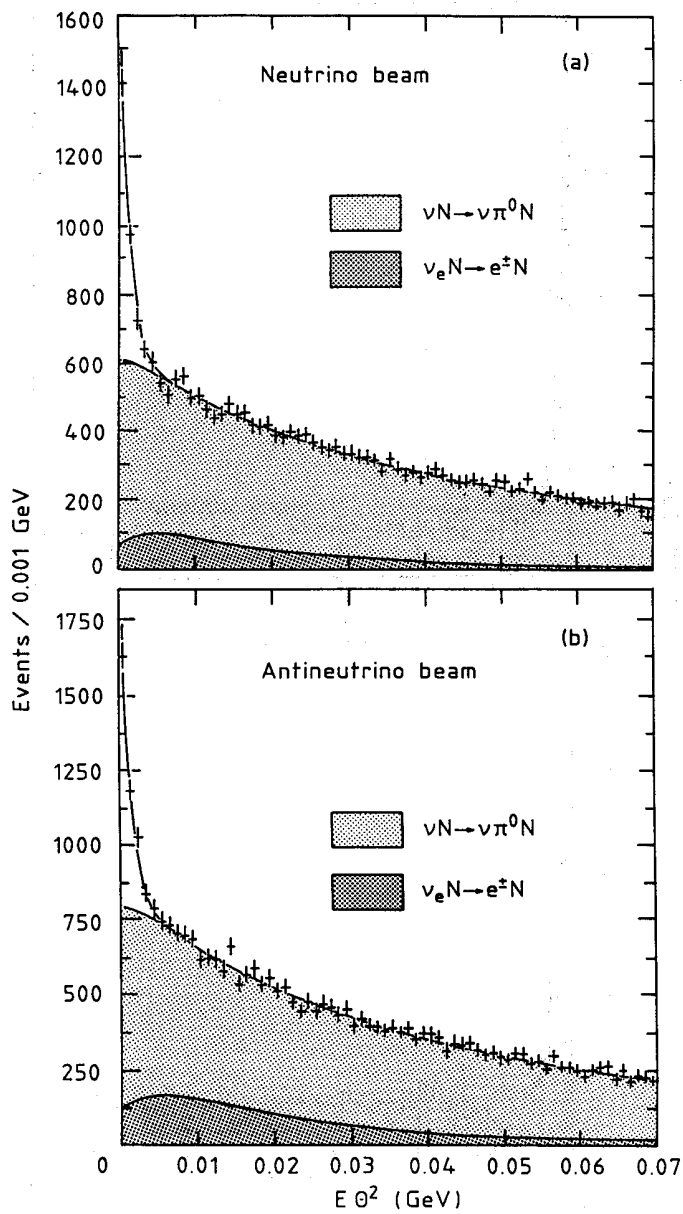


CHARM II



Risultati di CHARM II



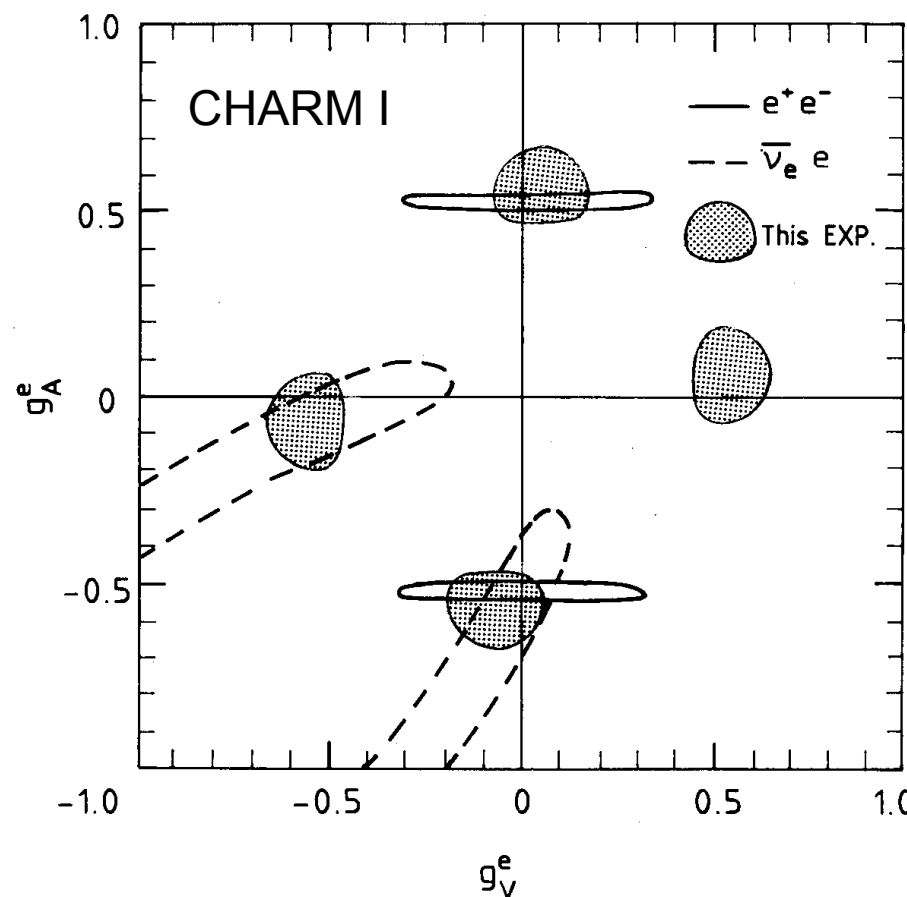
CHARM II, dall'intersezione delle ellissi:

$$g_V = -0.035 \pm 0.017$$

$$g_A = -0.503 \pm 0.017$$

$$g_V = I_3 - 2Q \sin^2 \vartheta_W$$

$$g_A = I_3$$



$$\sigma_{\nu_\mu e} = \frac{G_F s}{\pi} \left(C_L^2 + \frac{1}{3} C_R^2 \right) = \frac{G_F s}{\pi} \left[\left(\sin^2 \vartheta_w - \frac{1}{2} \right)^2 + \frac{1}{3} \sin^4 \vartheta_w \right]$$

$$\sigma_{\bar{\nu}_\mu e} = \frac{G_F s}{\pi} \left(\frac{1}{3} C_L^2 + C_R^2 \right) = \frac{G_F s}{\pi} \left[\frac{1}{3} \left(\sin^2 \vartheta_w - \frac{1}{2} \right)^2 + \sin^4 \vartheta_w \right]$$

Il parametro ρ

$$\frac{m_W^2}{m_Z^2 \cos^2 \vartheta_w} = \rho$$

$$\frac{\sigma_0^{NC}}{\sigma_0^{CC}} = \rho$$

al tree level:

un doppietto di Higgs, $\rho = 1$

più doppietti di Higgs, $\rho > 1$

ma le correzioni radiative

introducono piccole correzioni tali che $\rho = 1 + \Delta\rho$

$$\Delta\rho \simeq 0.005 - 0.01$$

$$\sigma_{\nu_\mu e} = \rho \frac{G_F s}{\pi} \left(C_L^2 + \frac{1}{3} C_R^2 \right) = \rho \frac{G_F s}{\pi} \left[\left(\sin^2 \vartheta_W - \frac{1}{2} \right)^2 + \frac{1}{3} \sin^4 \vartheta_W \right]$$

$$\sigma_{\bar{\nu}_\mu e} = \rho \frac{G_F s}{\pi} \left(\frac{1}{3} C_L^2 + C_R^2 \right) = \rho \frac{G_F s}{\pi} \left[\frac{1}{3} \left(\sin^2 \vartheta_W - \frac{1}{2} \right)^2 + \sin^4 \vartheta_W \right]$$

$$\frac{\sigma_{\nu_\mu e}}{\sigma_{\bar{\nu}_\mu e}} = \frac{16 \sin^4 \vartheta_W - 12 \sin^2 \vartheta_W + 3}{16 \sin^4 \vartheta_W - 4 \sin^2 \vartheta_W + 1}$$

La dipendenza da ρ è praticamente cancellata in $\sin^2 \theta_W$
 se viene determinato dal rapporto tra
 σ neutrino e σ antineutrino
 (che cancella anche molte altre sistematiche sperimentali)

$$\sin^2 \theta_W = 0.2324 \pm 0.0058 \pm 0.0059$$

correnti neutre ν-nucleone

Anche in questo caso, le misure più significative vengono dai rapporti tra sezioni d'urto. Nell'ipotesi di bersaglio isoscalare, e trascurando i quark pesanti, indicando con d e u le frazioni di momento associate ai relativi partoni, possiamo scrivere (Llewellyn Smith):

$$\frac{d}{dy} \sigma_v^{CC} = \frac{G^2 s}{\pi} (d_L + \bar{u}_R (1-y)^2)$$

$$\frac{d}{dy} \sigma_{\bar{v}}^{CC} = \frac{G^2 s}{\pi} (u_L (1-y)^2 + \bar{d}_R)$$

$$\frac{d}{dy} \sigma_v^{NC} = \frac{G^2 s}{\pi} (d_L g_{dL}^2 + d_R g_{dR}^2 (1-y)^2 + u_L g_{uL}^2 + u_R g_{uR}^2 (1-y)^2 +$$

$$+ \bar{d}_L g_{dR}^2 + \bar{d}_R g_{dL}^2 (1-y)^2 + \bar{u}_L g_{uR}^2 + \bar{u}_R g_{uL}^2 (1-y)^2) =$$

assumendo

$$= \frac{G^2 s}{\pi} ((d_L + \bar{u}_R (1-y)^2)(g_{uL}^2 + g_{dL}^2) + (u_R (1-y)^2 + \bar{d}_L)(g_{uR}^2 + g_{dR}^2)) =$$

$$= \frac{d}{dy} \sigma_v^{CC} g_L^2 + \frac{d}{dy} \sigma_{\bar{v}}^{CC} g_R^2 \quad (g_{uL})^2 = (g_{\bar{u}R})^2 = \left(\frac{1}{2} - \frac{2}{3} \sin^2 \vartheta_W \right)^2$$

con

$$(g_{dL})^2 = (g_{\bar{d}R})^2 = \left(-\frac{1}{2} + \frac{1}{3} \sin^2 \vartheta_W \right)^2$$

$$(g_{uR})^2 = (g_{\bar{u}L})^2 = \left(-\frac{2}{3} \sin^2 \vartheta_W \right)^2$$

$$(g_{dR})^2 = (g_{\bar{d}L})^2 = \left(\frac{1}{3} \sin^2 \vartheta_W \right)^2$$

e analogamente per antineutrino,

$$u_L = d_L = u_R = d_R$$

$$\bar{u}_L = \bar{d}_L = \bar{u}_R = \bar{d}_R$$

$$g_L^2 = g_{dL}^2 + g_{uL}^2 = \frac{1}{2} - \sin^2 \vartheta_W + \frac{5}{9} \sin^4 \vartheta_W$$

$$g_R^2 = g_{dR}^2 + g_{uR}^2 = \frac{5}{9} \sin^4 \vartheta_W$$

$$\frac{d}{dy} \sigma_{\bar{v}}^{NC} = \frac{d}{dy} \sigma_{\bar{v}}^{CC} g_L^2 + \frac{d}{dy} \sigma_v^{CC} g_R^2$$

integrandi in y , dividendo per $\sigma_{v,\bar{v}}^{CC}$ e introducendo

$$r = \frac{\sigma_{\bar{v}}^{CC}}{\sigma_v^{CC}} = \frac{\frac{1}{3}q + \bar{q}}{q + \frac{1}{3}\bar{q}} = \frac{\frac{1}{3} + \varepsilon}{1 + \frac{1}{3}\varepsilon} \approx 0.44 \quad \text{per } \varepsilon \approx 0.125, \text{ ma che può essere misurato direttamente,}$$

si ottiene

$$R_v = \frac{\sigma_v^{NC}}{\sigma_v^{CC}} = g_L^2 + g_R^2 \quad \text{e} \quad R_{\bar{v}} = \frac{\sigma_{\bar{v}}^{NC}}{\sigma_{\bar{v}}^{CC}} = g_L^2 + g_R^2/r$$

Queste relazioni vanno però corrette per gli altri quark del mare, soprattutto c che ha una soglia, dove entra la massa effettiva del c la non isoscalarità (ma CHARM era esattamente isoscalare) altre correzioni radiative

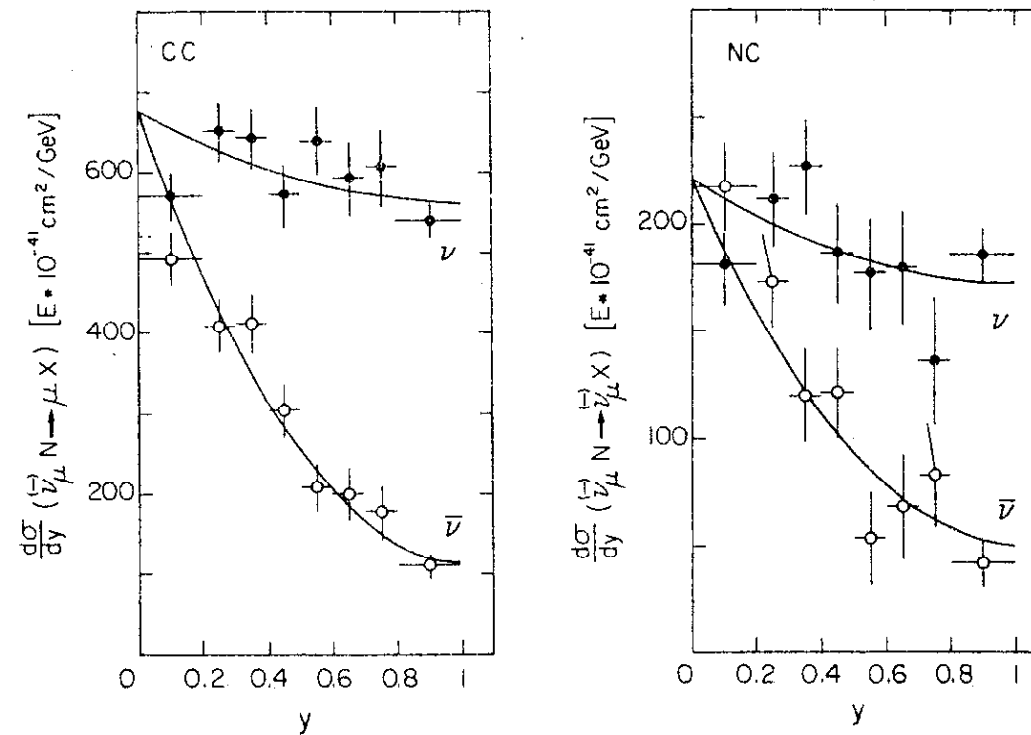
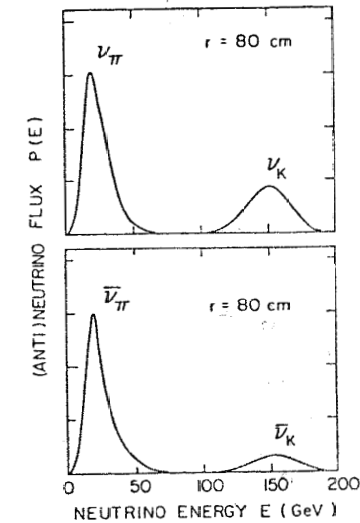
Il contributo maggiore alle incertezze viene dalla massa del c
Questo contributo praticamente scompare nel rapporto (Paschos-Wolfenstein)

$$R^- = \frac{\sigma_v^{NC} - \sigma_{\bar{v}}^{NC}}{\sigma_v^{CC} - \sigma_{\bar{v}}^{CC}} = \frac{\sigma_v^{CC} g_L^2 + \sigma_{\bar{v}}^{CC} g_R^2 - (\sigma_{\bar{v}}^{CC} g_L^2 + \sigma_v^{CC} g_R^2)}{\sigma_v^{CC} - \sigma_{\bar{v}}^{CC}} = g_L^2 - g_R^2$$

La massima sensibilità si può però avere misurando le distribuzioni in y

Risultati di CHARM

Fascio dicromatico (narrow band)
 y determinata per le correnti cariche ma
 non per le correnti neutre
 Unfolding con b-spline functions
 sia per CC che per NC



risultati di CHARM ('87)

dal fit alle distribuzioni differenziali in y

$$g_L^2 = 0.287 \pm 0.008$$
$$g_R^2 = 0.042 \pm 0.010$$

da R_v : $\sin^2\theta_W = 0.2330 \pm 0.0111(m_c(\text{GeV}) - 1.46) \pm 0.0056$

NuTeV ('02)

da R^-

$$g_L^2 = 0.3000 \pm 0.0014$$
$$g_R^2 = 0.0308 \pm 0.0011$$
$$\sin^2 \vartheta_w = 0.2277 \pm 0.0016$$